

# I-15

## 無梁板の座屈

(周辺が單純支持され、中間にて点支持される場合)

九州大学

正員 山崎徳也

長崎大学

〃 横木武

九州大学

学生員 ○山田喜四夫

### 1. 緒言

周辺でのみ支持される矩形板の座屈に関しては多くの既往研究があるが、無梁板のそれは未だ見当らない。本研究は、著者らが先に発表した無梁板の自由振動解析<sup>2)</sup>に用いた応力法を無梁板の安定問題に応用拡張したものである。すなわち、周辺で單純支持され、かつ、中間に任意配列したがって任意間隔に点支持される等方性等断面の矩形無梁板の座屈の最密解を求め、かかる構造物の安定問題の解析ならびに設計に資せんとするものである。

### 2. 解法

#### (1) 一般解の誘導

図-1に示すごとく、スパン  $a$ ,  $b$  の矩形板において、辺 A-B に沿って x 軸、辺 A-D に沿って y 軸、紙面に直交して z 軸をもつ直交座標系 ( $x$ ,  $y$ ,  $z$ ) を導入する。また、板は周辺で單純支持され、かつ、中にて任意配列の支点で点支持されているものとし、各支点に支点番号  $11, 12, \dots, 1S, 21, 22, \dots, 2S, \dots, ij, \dots, kl, \dots, r1, r2, \dots, rs$  を付す。

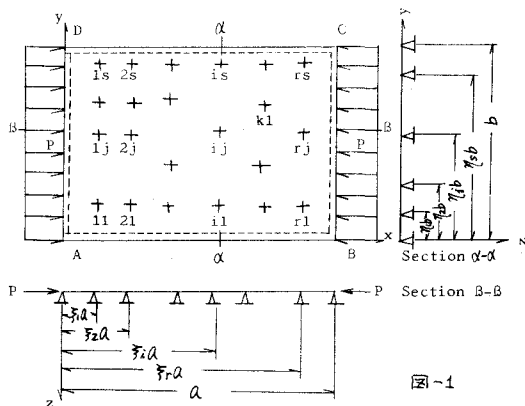


図-1

一般に、無梁板の安定問題として x 方向あるいは y 方向の荷重を受ける一方向圧縮、および、x, y 方向ともに荷重を受ける二方向圧縮、さらに、せん断座屈が考えられるが、本研究では、x 方向圧縮について論ることとする。

x 方向に単位長さ当たり  $P$  なる一様圧縮力を受けた。無梁板が曲げ変形を起すとき、板が中间支点から受けける支点反力をも荷重とみなせば無梁板の座屈の基礎微分方程式は、板に面内圧縮力と垂直荷重が同時に作用する場合の基礎微分方程式と同じく次式で表わされる。

$$D\left(\frac{\partial^2}{\partial x^2} + \frac{\partial^2}{\partial y^2}\right)^2 w + P \frac{\partial^2 w}{\partial x^2} = f(x, y) \quad (1)$$

ここで、  $D$ : 板剛性、  $w$ : 板のたわみ、  $f(x, y)$ : 板面に対して垂直に作用する荷重。

式(1)の一般解  $w$  はその各次方程式からえられる余函数  $w_i$ 、特殊解を  $w_0$  とすれば両者の和でえられる。いま、  $w_i$  を次のとく仮定する。

$$w_i = X(\xi) \sin N\pi\xi + Y(\eta) \sin M\pi\xi \quad \text{ただし } \xi = x/a, \eta = y/b, M, N = 1, 2, 3, \dots \quad (2)$$

式(2)を式(1)の各次方程式に代入のうえ、  $X(\xi), Y(\eta)$  の一般解を求めれば、それが以下のとくえられる。  $X(\xi)$ : ①  $\lambda > 2(N\pi/a)$   $X(\xi) = Ax \sin K_1\xi + Bx \cos K_1\xi + Cx \sin K_2\xi + Dx \cos K_2\xi$

$$\text{② } \lambda = 2(N\pi/a) \quad X(\xi) = (Ax + Bx\xi) \sin \frac{N\pi}{a}\xi + (Cx + Dx\xi) \cos \frac{N\pi}{a}\xi$$

$$\begin{aligned}
 & \text{③ } \lambda < 2(M\pi/\mu) \quad X(\xi) = A_x e^{\bar{k}_1 \xi} \sin \frac{\lambda}{2} \xi + B_x e^{\bar{k}_2 \xi} \cos \frac{\lambda}{2} \xi + C_x e^{\bar{k}_3 \xi} \sin \frac{\lambda}{2} \xi + D_x e^{\bar{k}_4 \xi} \cos \frac{\lambda}{2} \xi \\
 & Y(\eta): \quad \text{① } \lambda < M\pi \quad Y(\eta) = A_y \sinh k_1 \eta + B_y \cosh k_1 \eta + C_y \sinh k_2 \eta + D_y \cosh k_2 \eta \\
 & \quad \text{② } \lambda = M\pi \quad Y(\eta) = A_y + B_y \eta + C_y \sinh \sqrt{M\pi/\mu} \eta + D_y \cosh \sqrt{M\pi/\mu} \eta \\
 & \quad \text{③ } \lambda > M\pi \quad Y(\eta) = A_y \sin k_1 \eta + B_y \cos k_1 \eta + C_y \sinh k_2 \eta + D_y \cosh k_2 \eta
 \end{aligned}
 \right. \quad (3)$$

$$\Rightarrow \lambda^2 = P a^2 / D, \quad \mu = b/a, \quad k_1 = \sqrt{\frac{\lambda}{2}} + \sqrt{\lambda^2 - 4(M\pi/\mu)^2}, \quad k_2 = \sqrt{\frac{\lambda}{2}} - \sqrt{\lambda^2 - 4(M\pi/\mu)^2}, \quad \bar{k}_1 = \sqrt{(M\pi/\mu)^2 - \lambda^2/4}, \quad \bar{k}_2 = \mu/M\pi(M\pi + \lambda)$$

$$k_1' = \mu\sqrt{M\pi(M\pi - \lambda)}, \quad k_2' = \mu\sqrt{M\pi(\lambda - M\pi)}, \quad k_3 = \mu\sqrt{M\pi(\lambda + M\pi)}, \quad A_x \sim D_x \text{ および } A_y \sim D_y \text{ は積分定数}$$

ところで、四辺単純支持矩形板の固有値入は、 $\lambda > M\pi$  および  $\lambda \geq 2(M\pi/\mu)$  の条件を満足する<sup>1)</sup>。地方、本題の無限板は周辺単純支持矩形板より構造的に剛であるゆえ、その固有値入に因して

$$\lambda > M\pi, \quad \lambda > 2(M\pi/\mu) \quad (4)$$

であるといえる。したがつて、 $w_0$ に因して式(1)からえられる4つの解のうち工部条件式を満足するもののみが物理的意義をもち、結局、余函数 $w_0$ が次式のみで表わされることとなる。

$$\begin{aligned}
 w_0 = & (A_x \sin k_1 \xi + B_x \cos k_1 \xi + C_x \sin k_2 \xi + D_x \cos k_2 \xi) \sin M\pi \eta \\
 & + (A_y \sin k_1 \eta + B_y \cos k_1 \eta + C_y \sinh k_2 \eta + D_y \cosh k_2 \eta) \sin M\pi \xi
 \end{aligned} \quad (5)$$

つきに特殊解 $w_0$ を説明する。中间支点 $i,j$ の垂直反力を $V_{ij}$ とし、これを二重正弦フーリエ級数に展開すれば次のごとく表わされる。

$$\{V_{ij}\}_{ij} = \frac{4V_{ij}}{\mu a^2} \sum_{m=1}^{\infty} \sum_{n=1}^{\infty} \sin m\pi \xi_i \sin n\pi \eta_j \cdot \sin m\pi \xi_j \sin n\pi \eta_i \quad (6)$$

こゝに、 $\xi_i = x/a, \eta_j = y/b$ 、 $\{ \}_{ij}$ は二重正弦フーリエ級数展開式を意味し、 $[FL^2]$ の次元をもつ。  
式(1)の右辺 $f(x,y)$ は板に作用する垂直荷重であり、本題の無限板では中间支点反力の総和で与えられるゆえ式(6)をすべての $i, j$ についてかえ合せれば次式がえられる。

$$f(x,y) = -\frac{4}{\mu a^2} \sum_{i=1}^r \sum_{j=1}^s V_{ij} \sum_{m=1}^{\infty} \sum_{n=1}^{\infty} \sin m\pi \xi_i \sin n\pi \eta_j \cdot \sin m\pi \xi_j \sin n\pi \eta_i \quad (7)$$

たゞし  $V_{ij}$  は上向きを正、 $f(x,y)$  は下向きを正とする。

式(7)を式(1)に代入し、さらに、式(7)の直角形状を考慮して特殊解 $w_0$ を二重正弦フーリエ級数で表わされるものと假定すれば、 $w_0$ が次式のごとく算定される。

$$w_0 = -\frac{a^4}{\pi^4 \mu D} \sum_{m=1}^{\infty} \sum_{n=1}^{\infty} \frac{\sum_{i=1}^r \sum_{j=1}^s V_{ij} \sin m\pi \xi_i \sin n\pi \eta_j}{\{(m^2 + n^2/\mu^2)^2 - (m^2/\pi^2)\}} \sin m\pi \xi_i \sin n\pi \eta_j \quad (8)$$

式(5)と式(8)を加え合せれば、式(1)の一般解 $w$ が結局、次式のごとく決定されることとなる。

$$\begin{aligned}
 w = & (A_x \sin k_1 \xi + B_x \cos k_1 \xi + C_x \sin k_2 \xi + D_x \cos k_2 \xi) \sin M\pi \eta \\
 & + (A_y \sin k_1 \eta + B_y \cos k_1 \eta + C_y \sinh k_2 \eta + D_y \cosh k_2 \eta) \sin M\pi \xi \\
 & - \frac{a^4}{\pi^4 \mu D} \sum_{m=1}^{\infty} \sum_{n=1}^{\infty} \frac{\sum_{i=1}^r \sum_{j=1}^s V_{ij} \sin m\pi \xi_i \sin n\pi \eta_j}{\{(m^2 + n^2/\mu^2)^2 - (m^2/\pi^2)\}} \sin m\pi \xi_i \sin n\pi \eta_j
 \end{aligned} \quad (9)$$

(2) 固有値方程式 本題の無限板は周辺で単純支承されているゆえその境界条件式は次の二とくである。 $\xi = 0, 1$  で  $w = 0, \quad M_x = -\frac{D}{a^2} (\frac{\partial^2 w}{\partial \xi^2} + V/m^2 \cdot \frac{\partial^2 w}{\partial \eta^2}) = 0$

$$\eta = 0, 1 \text{ で } w = 0, \quad M_y = -\frac{D}{a^2} (V/m^2 \cdot \frac{\partial^2 w}{\partial \xi^2} + V \cdot \frac{\partial^2 w}{\partial \eta^2}) = 0 \quad \left. \right\} (10)$$

$\eta: \uparrow$   $\xi: \rightarrow$  アンコ

式(9)を式(10)に代入すれば次の二通り連立方程式をうる。

$$\left[ \begin{array}{c|c} \langle\langle K_0^1 \rangle\rangle & \langle\langle O \rangle\rangle_{44} \\ \hline \hline \langle\langle O \rangle\rangle_{44} & \langle\langle K_0^2 \rangle\rangle \end{array} \right] \times (A_x, B_x, C_x, D_x, A_y, B_y, C_y, D_y)^T = 0 \quad (11)$$

$$\langle\langle O \rangle\rangle_{44} : 4 \times 4 \text{ の零行列}$$

$$\langle\langle K_0^1 \rangle\rangle = \begin{bmatrix} 0 & 1 & 0 & 1 \\ \sin k_1 & \cos k_1 & \sin k_2 & \cos k_2 \\ 0 & k_1^2 & 0 & k_2^2 \\ k_1^2 \sin k_1 & k_1^2 \cos k_1 & k_2^2 \sin k_2 & k_2^2 \cos k_2 \end{bmatrix}, \quad \langle\langle K_0^2 \rangle\rangle = \begin{bmatrix} 0 & 0 & \sinh k_1 & \cosh k_1 \\ 0 & -k_1^2 & 0 & k_1^2 \\ -k_1^2 \sinh k_1 & -k_1^2 \cosh k_1 & k_2^2 \sinh k_2 & k_2^2 \cosh k_2 \\ 0 & 1 & 0 & 1 \end{bmatrix}$$

また、無限板の座屈時における中间支点  $r_{kl}$  の垂直変位を  $\delta_{rkl}$  とし、さらに、これら変位量が作用反力に比例するものとし、その比例定数を  $\gamma_{rkl}$  とすれば、次式をうる。

$$\delta_{rkl} = \gamma_{rkl} \cdot V_{rkl} \quad (R=1, 2, \dots, r; \ell=1, 2, \dots, s) \quad (12)$$

式(9)の弾性曲面式は各中间支点位置において式(12)に示す垂直変位に等しくなければならぬことより、次の二通り一連の変形条件式がえられる。

$$w(\xi_R, \eta_\ell) = \gamma_{rkl} \cdot V_{rkl} \quad (R=1, 2, \dots, r; \ell=1, 2, \dots, s) \quad (13)$$

式(13)に式(9)を代入してえられる結果と式(11)とを全て連立させれば未知数  $A_x \sim D_x, A_y \sim D_y$  および  $V_{rkl}$  ( $R=1, 2, \dots, r; \ell=1, 2, \dots, s$ ) を求めるための連立方程式をうるが、定数項はいあらむである。

こゝにがつて、未知数  $A_x \sim D_x, A_y \sim D_y$  および  $V_{rkl}$  のうち少なくとも1つ以上0でない解が存在するためには、上述の連立方程式の俠行列式が0でなければならぬことより、いわゆる座屈条件式が次の二通り与えられ、これより所定の座屈固有値入が算定されることとなる。

$$\left[ \begin{array}{c|c|c} \langle\langle K_0^1 \rangle\rangle & \langle\langle O \rangle\rangle_{44} & \langle\langle O \rangle\rangle_{44*} \\ \hline \hline \langle\langle O \rangle\rangle_{44} & \langle\langle K_0^2 \rangle\rangle & \langle\langle O \rangle\rangle_{44*} \\ \hline \hline \langle\langle K_{rkl}^1 \rangle\rangle & \langle\langle K_{rkl}^2 \rangle\rangle & \end{array} \right] \begin{array}{l} H_{11}^{rr} + \delta_{11} \quad H_{12}^{rr} \cdots \cdots H_{1k}^{rr} \cdots \cdots H_{rs}^{rr} \\ H_{12}^{rl} \quad H_{12}^{rs} + \delta_{12} \cdots \cdots H_{1k}^{rs} \cdots \cdots H_{rs}^{rs} \\ H_{1k}^{rl} \quad H_{1k}^{rs} \cdots \cdots H_{k2}^{rl} + \delta_{k2} \cdots \cdots H_{k2}^{rs} \\ \vdots \qquad \vdots \\ H_{rs}^{rr} \quad H_{rs}^{rl} \cdots \cdots H_{rs}^{k2} \cdots \cdots H_{rs}^{rs} + \delta_{rs} \end{array} = 0 \quad (14)$$

$$\Rightarrow H_{ij}^{rl} = H_{rlj}^{ij} = \sum_{m=1}^{\infty} \sum_{n=1}^{\infty} \frac{1}{S_{mn}} \sin m\pi \xi_i \sin n\pi \eta_j \cdot \sin m\pi \xi_R \sin n\pi \eta_\ell, \quad S_{mn} = (m^2 + \frac{N^2}{4})^2 - m^2 c^2 \frac{\lambda^2}{\pi^2},$$

$$\delta_{rkl} = -\frac{IT_{rl}}{4Q^2} \delta_{rkl}, \quad (\langle\langle O \rangle\rangle_{44*} \text{ は中间支点の総数を} n \text{ とすれば } 4 \times 4 \text{ の } 0 \text{ 行 } * 3 \text{ の } 0 \text{ 行 } 3 \times 1 \text{ である。})$$

$$\langle\langle K_{rkl}^1 \rangle\rangle = \begin{bmatrix} \sin k_1 \sin N T \eta_1 & \cos k_1 \sin N T \eta_1 & \sin k_2 \sin N T \eta_1 & \cos k_2 \sin N T \eta_1 \\ \sin k_1 \sin N T \eta_2 & \cos k_1 \sin N T \eta_2 & \sin k_2 \sin N T \eta_2 & \cos k_2 \sin N T \eta_2 \\ \sin k_1 \sin N T \eta_R & \cos k_1 \sin N T \eta_R & \sin k_2 \sin N T \eta_R & \cos k_2 \sin N T \eta_R \\ \sin k_1 \sin N T \eta_S & \cos k_1 \sin N T \eta_S & \sin k_2 \sin N T \eta_S & \cos k_2 \sin N T \eta_S \end{bmatrix}$$

$$(K_{Re}^2) = \begin{bmatrix} \sin k_3 \eta_1 \sin M\pi \beta_1 & \cos k_3 \eta_1 \sin M\pi \beta_1 & \sinh k_4 \eta_1 \sin M\pi \beta_1 & \cosh k_4 \eta_1 \sin M\pi \beta_1 \\ \sin k_3 \eta_2 \sin M\pi \beta_2 & \cos k_3 \eta_2 \sin M\pi \beta_2 & \sinh k_4 \eta_2 \sin M\pi \beta_2 & \cosh k_4 \eta_2 \sin M\pi \beta_2 \\ \hline \sin k_3 \eta_R \sin M\pi \beta_R & \cos k_3 \eta_R \sin M\pi \beta_R & \sinh k_4 \eta_R \sin M\pi \beta_R & \cosh k_4 \eta_R \sin M\pi \beta_R \\ \hline \sin k_3 \eta_S \sin M\pi \beta_S & \cos k_3 \eta_S \sin M\pi \beta_S & \sinh k_4 \eta_S \sin M\pi \beta_S & \cosh k_4 \eta_S \sin M\pi \beta_S \end{bmatrix}$$

3. 計算例 図-2(a)～(c)に示す二辺長比  $\mu = b/a = 1.0$  なる周辺単純支持正方形板が中间支点にて支持され、各中间支点の支点沈下がない場合の固有値入を式(14)より計算すれば、表-1(a)～(c)欄に示す諸値をうる。表-1において右肩に\*印を付したもののは、周辺単純支持正方形板の固有値群の中に見い出されるものであり座屈モードの式形は次式のごとき周辺単純支持正方形板のそれと一致する。

$$W = A \sin M\pi \beta \sin N\pi \eta \quad (15)$$

\*印のない固有値群では、式(14)の左辺において全ての導率が0となるごとき列がないゆえ、式(14)における  $A_x \sim D_x, A_y \sim D_y$  がいわれても0となり、したがって座屈モード式は次のごとくえらべる。

$$W = V_0 \sum_{m=1}^{\infty} \sum_{n=1}^{\infty} \frac{1}{S_m n} \sum_{j=1}^{M-1} \sum_{l=1}^{N-1} V_{ij} \sin m\pi \beta_i \sin N\pi \eta_j \cdot \sin M\pi \beta \sin N\pi \eta \quad (16)$$

$$\text{ただし } \nabla_{Re} = -\frac{4a^2}{\pi^2 UD} \nabla_{Re}, \quad V_{ij} = \nabla_{ij}/V_0$$

図-2(a)～(c)の各無限板についての一次、ニ次モードを求めれば図-3に示すとおりである。

4. 結語 本法を用いれば一方向圧縮力を受ける無限板の固有値が式(14)を解くことにより厳密に算定できちが、例題にも示したごとく、無限板の固有値の中、周辺単純支持矩形板のそれと合致するものは式(14)を直接解く必要ではなく、既往の座屈算定式から直ちに算出可能である。

また、本法と同様の手法により中间支点で電直反力の他に反カーメントが生

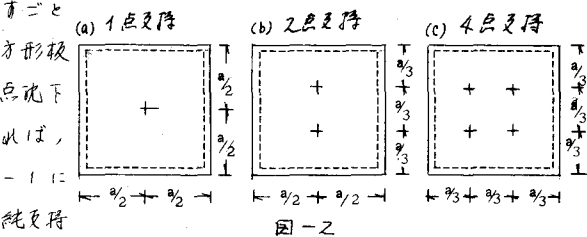


図-2

次数	(a) 1点支持	(b) 2点支持	(c) 4点支持
1	7.8540*	7.8540*	10.4720*
2	10.0721	10.1150	12.3450
3	12.5664*	12.5664*	13.6136*
4	13.3517*	13.3517*	15.0353
5	13.6136*	13.6136*	18.8496*

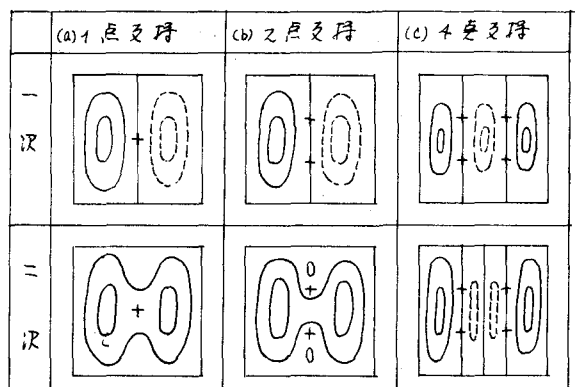


図-3

する場合、すなれど、板と柱との直結する無限板や、さらには二方向圧縮無限板の安定問題についても解析不能である。

文献 1) 山崎、橋本、高橋：応力法による一方向連続矩形板の強度 九州大学工芸雑誌：材料力学第5号 (J.43)

2) 山崎、橋本：周辺単純支持された無限板の自由振動、第14回構造・構造工学研究発表会 (J.42)